

© 1992

## ТУННЕЛЬНЫЙ ТОК ПРИ КОНТАКТЕ БИПОЛЯРНЫЙ СВЕРХПРОВОДНИК—НОРМАЛЬНЫЙ МЕТАЛЛ

*A. С. Александров, М. П. Казеко, Г. Г. Мелконян*

Выполнен расчет вольт-амперных характеристик контакта биполярный сверхпроводник—изоляторм—нормальный металл. С помощью модели туннельного гамильтониана получено выражение для туннельного тока. Особенности вольт-амперных характеристик связаны с предположениями о малой ширине биполярной зоны и бозе-статистике носителей тока в сверхпроводнике.

В настоящей работе на основании биполярной теории сверхпроводимости [1–3] получено выражение для туннельного тока при контакте биполярный сверхпроводник—изоляторм—нормальный металл (SIN). Учтено взаимодействие между биполяронами. Полученные результаты в предельном случае, когда взаимодействие между биполяронами отсутствует, совпадают с результатами работы [4].

### 1. Исходный гамильтониан и выражение для туннельного тока при SIN контакте

Для получения вольт-амперных характеристик (BAX) SIN-контакта воспользуемся методом туннельного гамильтониана [5].

Рассмотрим контакт SIN, когда в качестве S-электрода взят материал с сильным электрон-фононным взаимодействием, а в качестве N-электрода используется материал со слабым электрон-фононным взаимодействием. Запишем исходный гамильтониан в виде

$$H = H_S + H_N + H_T, \quad (1)$$

где  $H_S$  — гамильтониан электронов S-электрода,  $H_N$  — гамильтониан электронов N-электрода,  $H_T$  — туннельный член полного гамильтониана системы.

Для  $H_S$  воспользуемся фрелиховской моделью в импульсном представлении

$$\begin{aligned} H_S = & \sum_{\mathbf{p}\sigma} \mathcal{E}(\mathbf{p}) C_{\mathbf{p}\sigma}^+ C_{\mathbf{p}\sigma} + \sum_{\substack{\mathbf{p}, \sigma, \mathbf{p}; \\ \mathbf{k}, \sigma', \mathbf{k}'}} V_{\mathbf{p}\mathbf{p}'}^{\mathbf{k}\mathbf{k}'} C_{\mathbf{p}\sigma}^+ C_{\mathbf{p}'\sigma'}^+ C_{\mathbf{k}\sigma} C_{\mathbf{k}'\sigma'} + \\ & + \sum_{\substack{\mathbf{k}, \mathbf{k}', \sigma'; \\ \mathbf{q}, \sigma}} (U_{\mathbf{k}\mathbf{k}'}(\mathbf{q}) C_{\mathbf{k}\sigma}^+ C_{\mathbf{k}'\sigma'} d_{\mathbf{q}} + \text{э. с.}) + \sum_{\mathbf{q}} \omega(\mathbf{q}) d_{\mathbf{q}}^+ d_{\mathbf{q}}, \end{aligned} \quad (2)$$

$V_{\mathbf{p}\mathbf{p}'}^{\mathbf{k}\mathbf{k}'}$ ,  $U_{\mathbf{k}\mathbf{k}'}$  — матричные элементы кулоновского и электрон-фононного взаимодействия;  $\omega(\mathbf{q})$  — спектр фононов;  $d_{\mathbf{q}}^+$ ,  $d_{\mathbf{q}}$  — операторы рождения и уничтожения фононов;  $\mathbf{k}$ ,  $\mathbf{p}$ ,  $\mathbf{q}$  — волновые векторы;  $\sigma$ ,  $\sigma'$  — проекции спина электрона.

В  $H_N$  полностью пренебрегаем взаимодействием электронов друг с другом, электрон-фононным взаимодействием

$$H_N = \sum_{p, \sigma} \xi(p) a_{p\sigma}^+ a_{p\sigma}, \quad (3)$$

$\xi(p)$  — спектр электронов в N-электроде;  $a_{p\sigma}^+$ ,  $a_{p\sigma}$  — операторы рождения и уничтожения электронов.

Туннельный член выберем в традиционном виде [5]

$$H_T = \sum_{p, q, \sigma} (T_{pq} a_{p\sigma}^+ C_{q\sigma} + \text{э. с.}), \quad (4)$$

где  $T_{p, q}$  — матричный элемент перехода из S- в N-электрод. Здесь и далее использована система единиц, где частота, температура и напряжение выражаются в единицах энергии ( $\hbar = k = 1$ ).

Делая поляронное и биполяронное преобразование, как в [6, 7], получим гамильтониан SIN контакта в виде

$$\begin{aligned} \tilde{H} = & - \sum_{m \neq m'} t_{mm'} b_m^+ b_{m'} + \sum_{m \neq m'} \tilde{V}_{mm'} b_m^+ b_m b_{m'}^+ b_{m'} + \\ & + \sum_{j, j'} T_{jj'}^{(N)} a_j a_j + \sum_{m, j, j'} \{\tilde{D}_{mj j'}^* b_m^+ a_j a_{j'} + \text{э. с.}\}, \end{aligned} \quad (5)$$

где

$$b_m = C_{m\downarrow} C_{m\uparrow}, \quad b_m^+ = C_{m\uparrow}^+ C_{m\downarrow}^+, \quad (6)$$

$$C_{k\omega} = (1/\sqrt{N_S}) \sum_m C_{m\omega} \exp(-iqR_m), \quad (7)$$

$$a_{q\omega} = (1/\sqrt{N_N}) \sum_p a_{p\omega} \exp(-iqR_p), \quad (8)$$

$$t_{mm'} = 2i \int_0^\infty d\tau \exp\{-i(\Delta/2 + \delta)\tau\} \langle \mathcal{G}_{mm'}(\tau) \mathcal{G}_{m'm}(0) \rangle,$$

$$\mathcal{G}_{mm'}(\tau) = \exp\{iH_{ph}\tau\} \mathcal{G}_{mm'} \exp\{-iH_{ph}\tau\}, \quad (9)$$

$$\mathcal{G}_{mm'} = T_{mm'}^{(S)} \exp\left[\sum_q [\omega^{-1}(q) [U_{mm}(q) - U_{m'm}(q)] d_q - \text{э. с.}]\right], \quad (10)$$

$$T_{mm'}^{(S)} = (1/N_S) \sum_p \mathcal{E}(p) \exp\{ip(R_m - R_{m'})\}. \quad (11)$$

Динамическое биполярон-биполяронное взаимодействие

$$\tilde{V}_{mm'} = 4V_{mm'}^{mm'} + 2i \int_0^\infty d\tau \exp\{-i(\Delta/2 + \delta)\tau\} \langle \mathcal{G}_{mm'}(\tau) \mathcal{G}_{m'm}(0) \rangle. \quad (12)$$

Матричный элемент туннельного перехода

$$\begin{aligned} \tilde{D}_{mn} = & i \int_0^\infty \exp\{-i(\Delta/2 + \delta)\tau\} \langle D_{mn}(\tau) D_{mn}(0) \rangle, \\ D_{mn}(\tau) = & \exp\{iH_{ph}\tau\} D_{mn} \exp\{-iH_{ph}\tau\}, \end{aligned} \quad (13)$$

$$D_{mn} = (1/\sqrt{N_S N_N}) \sum_{pq} T_{pq} \exp\{ipR_m - iqR_n\}. \quad (14)$$

В работе [7] для  $t_{mm'}$  и  $\tilde{V}_{mm'}$  получены аналитические выражения

$$t_{mm'} = \frac{2T_{mm'} T_{m'm}}{\Delta},$$

$$\tilde{V}_{mm'} = 4V_{mm'} + \frac{2T_{mm'}^2}{\Delta} \exp(-4g^2). \quad (15)$$

В случае

$$\Delta \gg \omega = \varepsilon_p/g^2,$$

где  $\omega$  — характеристическая фоновая частота системы,

$$\varepsilon_p = \sum_q \omega^{-1}(q) \coth\left(\frac{\omega(q)}{2T}\right) |U(q)|^2 [1 - \cos q(\mathbf{R}_m - \mathbf{R}_{m'})]. \quad (16)$$

В том же приближении [4]

$$\tilde{D}_{mm'} = (4/\Delta) \exp(-2\eta^2) D_{mm'} D_{mm'}, \quad (17)$$

$$\eta^2 = \sum_q \omega^{-2}(q) \coth\left(\frac{\omega(q)}{2T}\right) |U(q)|^2. \quad (17a)$$

Если  $T \ll \Delta \ll \omega$ , то

$$t_{mm'} = 2 \frac{T_{mm'} T_{m'm}}{\Delta} \exp(-2g^2), \quad (18a)$$

$$\tilde{V}_{mm'} = 4V_{mm'} + 2 \frac{T_{mm'}^2}{\Delta} \exp(-2g^2), \quad (18b)$$

$$\tilde{D}_{mm'} = (4/\Delta) \exp(-2\eta^2) D_{mm'} D_{mm'}. \quad (18b)$$

В дальнейшем будем предполагать, что концентрация биполяронов мала (т. е. число узлов, занятых биполяронами, много меньше, чем незанятых). В этом приближении, как показано в работе [8], биполярные операторы можно считать бозеевскими, взаимодействие между ними короткодействующим, не зависящим от волнового вектора и для биполяронов использовать модель слабонеидеального Бозе-газа с парным взаимодействием. С учетом этих предположений, совершая обратный переход к импульсному представлению, получаем гамильтониан в виде

$$\tilde{H} = \sum_p \varepsilon_\delta(p) b_p^\dagger b_p + V \sum_{\mathbf{k}, \mathbf{k}', \mathbf{q}, \mathbf{q}'} b_{\mathbf{k}}^\dagger b_{\mathbf{k}'}^\dagger b_{\mathbf{q}} b_{\mathbf{q}'} + \\ + \sum_{\mathbf{k}, \sigma} \xi(\mathbf{k}) a_{\mathbf{k}\sigma}^\dagger a_{\mathbf{k}\sigma} + \sum_{\mathbf{k}, \mathbf{q}_1, \mathbf{q}_2} \{D_{\mathbf{k}, \mathbf{q}_1, \mathbf{q}_2}^\ast b_{\mathbf{k}}^\dagger a_{\mathbf{q}_1\sigma} a_{\mathbf{q}_2\sigma} + \text{э. с.}\}, \quad (19)$$

где

$$\varepsilon_\delta(p) = (1/N_s) \sum_{m, m'} t_{mm'} \exp\{ip\mathbf{R}_m - ip'\mathbf{R}_{m'}\} = \frac{2 \exp(\Theta g^2)}{\Delta N_s} \sum_{p'} \varepsilon(p') \varepsilon(p - p'). \quad (20)$$

В (20)  $\Theta = 0$  для  $\Delta \gg \omega$  и  $\Theta = 2$  для  $T \ll \Delta \ll \omega$ . Первая часть выражения (20) при  $\Theta = 0$ ,  $\Theta = 2$  получена вычислением  $t_{mm'}$  с помощью выражений (11), (15), (18a).

Для  $\varepsilon_S$  в приближении сильной связи для кубической решетки имеем, как обычно,

$$\varepsilon_S(p) = \varepsilon_0 (3 - \cos(p_x a) - \cos(p_y a) - \cos(p_z a)). \quad (20a)$$

Если массу электрона вблизи дна зоны положить равной  $m_0$ , то  $\varepsilon_0 = h^2/m_0 a^2$

$$\varepsilon_S(p) = \varepsilon_{00} (3 - \cos(p_x a) - \cos(p_y a) - \cos(p_z a)),$$

где

$$\begin{aligned} \varepsilon_{00} &= h^2/m_0 a^2, \\ am_\delta &= \frac{2m_0^2 \Delta a \exp\{|g|^2\}}{2lh}. \end{aligned} \quad (20b)$$

Матричный элемент перехода в импульсном представлении имеет вид

$$\begin{aligned} D_{kq_1 q_2} &= (1/N_N) \sqrt{1/N_S} \sum_{m, n, n'} \tilde{D}_{mn} \exp\{ikR_m - iq_1 R_n - iq_2 R_{n'}\} = \\ &= (4/\Delta) \sqrt{N} \exp(\Theta\eta^2) \sum_{k'} T_{k' q_1} T_{k-k', q_2}. \end{aligned} \quad (21)$$

В (21)  $\Theta = 1$  для  $\Delta \gg \omega$  и  $\Theta = 2$  для  $T \ll \Delta \ll \omega$ . Правая часть выражения (21) при  $\Theta = 1$  ( $\Theta = 2$ ) получена вычислением  $\tilde{D}_{mn}$  с помощью выражения (14), (17), (18в).

Для матричного элемента  $T_{kq}$  воспользуемся приближением Вентцеля—Крамерса—Бриллюэна [5], согласно которому

$$T_{kq} = \left( \frac{\partial \varepsilon(k)}{\partial k_x} \frac{\partial \xi(q)}{\partial q_x} \right)^{1/2} D_0, \quad (22)$$

где  $k_x, q_x$  — проекции волнового вектора в направлении, перпендикулярном плоскости туннельного контакта;  $D_0$  — константа, не зависящая от волнового вектора.

Из выражений (21), (22) для матричного элемента перехода из S- в N-электрод получаются следующие выражения:

$$D_{pq_1 q_1} = \begin{cases} \Phi_0 P_x^2 \sqrt{q_x q_{1x}}, & q_x, q_{1x}, P_x > 0, \\ 0, & \text{если хотя бы одна проекция отрицательная,} \end{cases} \quad (22a)$$

$$\Phi_0 = (\sqrt{N_S}/4\Delta) D_0^2 \exp(-\Theta\eta^2) h/\sqrt{m_\delta m_0}.$$

Оператор тока  $j$  есть

$$\hat{j} = -e \frac{d\hat{N}}{dt},$$

где  $\hat{N}$  — оператор числа частиц в N-электроде,  $e$  — заряд электрона (в нашем случае  $e = 1$ ).

Ток через контакт получается после термодинамического усреднения оператора тока

$$\langle \hat{j} \rangle = -\langle d\hat{N}/dt \rangle = -\sum_{\varphi} \left\langle \frac{d}{dt} (a_{\varphi}^+ a_{\varphi}) \right\rangle. \quad (23)$$

Рассмотрим (см. [5]) случай, когда к контакту приложено напряжение  $V$ . Предполагая, что все падение напряжения происходит на переходе, получим, что химпотенциалы N- и S-электродов сдвинуты относительно друг друга на величину  $V$ ,  $\mu_S - \mu_N = -V$ . Это равносильно наличию у электронов N-электрода дополнительной энергии. Гамильтониан N-электрода в этом случае можно записать

$$H_N(V) = H_N(0) - VN_N. \quad (24)$$

Если обозначить операторы уничтожения электрона в N-электроде  $a_{k\sigma}$  и  $\hat{a}_{k\sigma}$  соответственно при  $V=0$  и  $V \neq 0$ , то, как показано в [5],

$$\hat{a}_{k\sigma} = \exp \left\{ i \frac{\varphi(t)}{2} \right\} a_{k\sigma}, \quad (25)$$

где  $d\varphi(t)/dt = 2V(t)$ . В данном случае  $V(t) = \text{const}$ . Оператор тока находим из уравнения движения операторов в гейзенберговском представлении

$$\hat{j} = - \frac{d\hat{N}}{dt} = -i [\tilde{H}; \hat{N}_N]. \quad (26)$$

Гамильтониан  $\tilde{H}$  имеет вид

$$\tilde{H} = H_1 + H_2 + H_T,$$

где  $H_1$  — биполярный гамильтониан в импульсном представлении;  $H_2 = H_N$ , когда  $V = \text{const}$  (см. [5]);  $H_T$  — тунNELНЫЙ гамильтониан, описывающий переход двух электронов из нормального металла в биполярный сверхпроводник и обратно. Легко получить, что  $H_1$  и  $H_2$  коммутируют с оператором числа частиц, и из (26) остается

$$j = -i [H_T; \hat{N}_N], \quad (27)$$

откуда получаем

$$\hat{j} = (-4J/m) \left[ \sum_{p, k, \sigma} D_{p q k}^* \langle b_p^+ \hat{a}_{q-\sigma} \hat{a}_{k\sigma} \rangle \right]. \quad (28)$$

Для вычисления среднего от оператора тока воспользуемся боголюбовским преобразованием для слабонеидеального Бозе-газа [9] в гамильтониане (19). При этом положим, что основной вклад в тунNELНЫЙ ток дадут биполяроны со значением импульса  $p \ll 1/a$  ( $a$  — постоянная решетки), и поэтому вместо выражения 386 пользоваться приближенным соотношением  $\varepsilon_\sigma(p) = p^2/2m_\delta$ .

После канонического преобразования

$$\beta_p = u_p b_p^+ - V_p b_{-p}, \quad \beta_p^+ = u_p b_p - V_p b_{-p}^+$$

получаем

$$H_1 = \sum_p \mathcal{E}(p) \beta_p^+ \beta_p, \quad \mathcal{E}(p) = \sqrt{(p^2/2m_\delta + \alpha)^2 - \alpha^2},$$

$\sigma = NV$  — параметр взаимодействия между биполяронами;  $N$  — число частиц в конденсате, порядка полного числа частиц;  $m_\delta$  — эффективная масса биполярона;  $u_p$  и  $V_p$  — амплитуды Боголюбовского преобразования для слабо неидеального Бозе-газа и

$$u_p^2 - V_p^2 = 1. \quad (29)$$

Полный гамильтониан имеет следующий вид:

$$\tilde{H}(\beta_p^+, \beta_p, \hat{a}_q^+, \hat{a}_q) = \sum_p \mathcal{E}(p) \beta_p^+ \beta_p + H_2 + H_T(\beta_p; \beta_p^+ \hat{a}_{q;-\sigma} \hat{a}_{k\sigma}). \quad (30)$$

В результате для тока получим

$$\langle j \rangle = -4(J/m) \left[ \sum_{p, k} D_{pqk}^* \{ \langle u_p \beta_p^+ \hat{a}_{q;-\sigma} \hat{a}_{k\sigma} \rangle + \langle V_p \beta_{-p} \hat{a}_{q;-\sigma} \hat{a}_{k\sigma} \rangle \} \right]. \quad (31)$$

Для вычисления  $\langle \beta_p^+ \hat{a}_{q\sigma} \hat{a}_{k\sigma} \rangle$  использовались гейзенберговские уравнения движения. После вычисления коммутатора  $[\tilde{H}; \beta_p^+ a_{q\sigma} a_{k;-\sigma}]$  и усреднения, как это сделано в [5], получаем

$$\left\langle \frac{d}{dt} (\beta_p^+ \hat{a}_{q\sigma} \hat{a}_{k\sigma}) \right\rangle = D_{pqk} u_p \frac{\varphi_p [1 - f_q - f_k] - f_q f_k}{-\mathcal{E}(p) + \xi(q) + \xi(k) - ie + 2V}. \quad (32a)$$

Для  $\langle \beta_{-p}^+ \hat{a}_{q;-\sigma} \hat{a}_{k\sigma} \rangle$ , повторяя ту же процедуру, получим

$$\langle \beta_{-p}^+ \hat{a}_{q;-\sigma} \hat{a}_{k\sigma} \rangle = D_{pqk} V_p \frac{(\varphi_p + 1) [1 - f_q - f_k] + f_q f_k}{\mathcal{E}(p) + \xi(q) + \xi(k) - ie + 2V}. \quad (32b)$$

Здесь  $\varphi_p, f_p$  — функции Бозе- и Ферми-распределений соответственно. После подстановки (32) в (31) окончательно получаем  $\langle j \rangle$  в виде

$$\langle j \rangle = -4J/m \{ \Sigma(1) + \Sigma(2) \}, \quad (33)$$

где

$$\Sigma(1) = \sum_{p, q, k} |D_{pqk}|^2 u_p^2 \frac{\varphi_p [1 - f_q - f_k] - f_q f_k}{-\mathcal{E}(p) + \xi(q) + \xi(k) - ie + 2V}, \quad (34)$$

$$\Sigma(2) = \sum_{p, q, k} |D_{pqk}|^2 V_p^2 \frac{(\varphi_p + 1) [1 - f_q - f_k] + f_q f_k}{\mathcal{E}(p) + \xi(q) + \xi(k) - ie + 2V}. \quad (35)$$

Полученное выражение (33) есть туннельный ток при температурах  $T \ll T_c$ . В этом случае закон дисперсии биполяронов квадратично зависит от волнового вектора (206). Будем предполагать, что электроны в N-электроде вблизи поверхности Ферми имеют квадратичный закон дисперсии. Для биполяронов квадратичный закон дисперсии очевиден, так как при низких температурах основной вклад в туннельный ток дает дно биполярной зоны. Подставляя туннельные матричные элементы (22a) в (34), (35), переходя от суммы к интегрированию, получаем

$$j = \text{const} \{ \int(1) + \int(2) \},$$

$$\int(1) = \int d^3 p \int d^3 q \int d^3 q' u_p^2 p_x^4 q_x q'_x \int \{ \varphi_p [1 - f_q - f_{q'}] - f_q f_{q'} \} \times \\ \times \delta(-\mathcal{E}(p) + \xi(q) + \xi(q') + 2V),$$

$$\int(2) = \int d^3 p \int d^3 q \int d^3 q' V_p^2 p_x^4 q_x q'_x \int \{ (1 + \varphi_p) [1 - f_q - f_{q'}] + f_q f_{q'} \} \times \\ \times \delta(\mathcal{E}(p) + \xi(q) + \xi(q') + 2V).$$

Здесь

$$\text{const} = 4\Phi_0^2/(2\pi)^6, \quad p_x = p \sin \Theta, \quad q_x = q \sin \Theta, \quad q'_x = q' \sin \Theta.$$

После перехода от интегрирования по волновым векторам к интегрированию по энергиям имеем

$$j = j_0 \int_0^W N_\delta(\mathcal{E}) u^2(\mathcal{E}) D^2(\mathcal{E})(\mathcal{E} - 2V) [\varphi(\mathcal{E} - 2V) - \varphi(\mathcal{E})] d\mathcal{E} + \\ + j_0 \int_0^W N_\delta(\mathcal{E}) V^2(\mathcal{E}) D^2(\mathcal{E})(\mathcal{E} + 2V) [-\varphi(\mathcal{E} + 2V) + \varphi(\mathcal{E})] d\mathcal{E}, \quad (36)$$

где

$$j_0 = \frac{2^{1/2}}{5} \Phi_0^2 \frac{N_N^2 N_S}{(2\pi)^6} m^{5/2} m_{0F}^4 \xi_F^2,$$

$W$  — ширина биполярной зоны. При выводе (36) предполагалось, что ширина электронной зоны в  $N$ -электроде много больше  $W$ . В этом случае для электронов  $N(\xi)$  можно заменить на  $N(0)$ , как это обычно делается в теории металлов. Для биполярного сверхпроводника  $N_\delta(\mathcal{E})$  это сделать нельзя, поскольку вблизи дна зоны наблюдается сильная зависимость энергии от волнового вектора. Выражения (55) получены в предположении, что  $N_\delta(\mathcal{E}) \sim \sqrt{\mathcal{E}}$  на дне зоны и  $N(\mathcal{E}) = 0, \mathcal{E} > W$ ,

$$V^2(\mathcal{E}) = - \frac{(\mathcal{E} - \sqrt{\mathcal{E}^2 + \alpha^2})^2}{\alpha^2 - (\sqrt{\mathcal{E}^2 + \alpha^2} - \mathcal{E})^2}, \\ D^2(\mathcal{E}) N_\delta(\mathcal{E}) = \frac{[\sqrt{\mathcal{E}^2 + \alpha^2} - \alpha]^{5/2}}{\sqrt{\mathcal{E}^2 + \alpha^2}} \mathcal{E}, \\ u^2(\mathcal{E}) = 1 + V^2(\mathcal{E}).$$

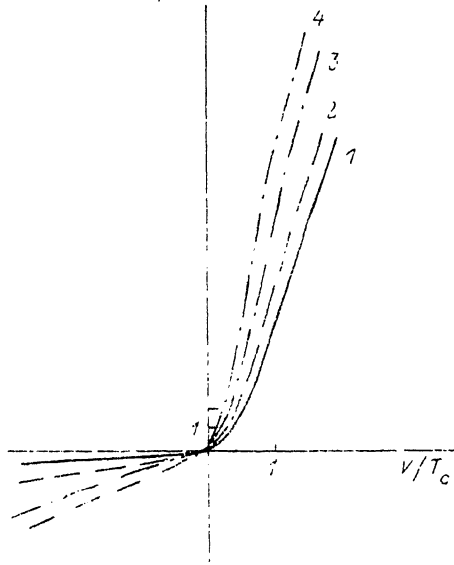
В случае  $T = 0$  ( $j$ ) аналитически вычисляется, однако получающиеся выражения громоздки. Результаты численных вычислений при  $T = 0$  и  $T \neq 0$  приведены на рис. 1, 2. При  $T = 0$  и  $V > 0$  ток определяется выражением (34), при  $V < 0$  выражением (35), а именно:

$$j = -j_0 \int_0^{2V} N_\delta(\mathcal{E}) u^2(\mathcal{E}) D^2(\mathcal{E})(2V - \mathcal{E}) d\mathcal{E}, \quad 0 < V < W/2, \\ j = -j_0 \int_0^W N_\delta(\mathcal{E}) u^2(\mathcal{E}) D^2(\mathcal{E})(2V - \mathcal{E}) d\mathcal{E}, \quad V > W/2. \quad (37)$$

Для отрицательных  $V$

$$j = -j_0 \int_0^{-2V} N(\mathcal{E}) V^2(\mathcal{E}) D^2(\mathcal{E})(2V + \mathcal{E}) d\mathcal{E}, \quad 0 < |V| < W/2, \\ j = -j_0 \int_0^W N(\mathcal{E}) V^2(\mathcal{E}) D^2(\mathcal{E})(2V + \mathcal{E}) d\mathcal{E}, \quad |V| > W/2. \quad (38)$$

$I$ , отн. ед.



$\delta$

$dI/dV, \text{отн. ед.}$

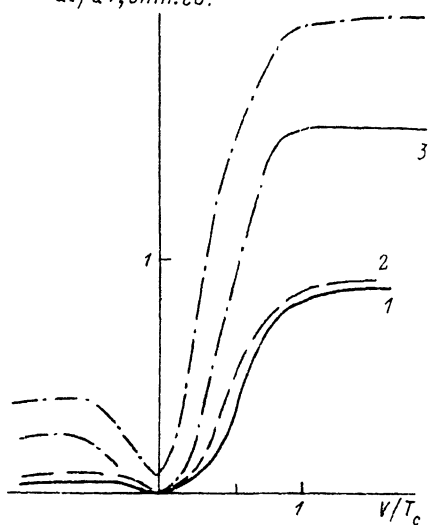


Рис. 1. Зависимости тока (а) и дифференциальной проводимости (б) от напряжения при  $W = 2T_c$ ,  $\alpha = 0.01T_c$  для разных температур.  
 $T = 0.01 T_c$  (1),  $0.05 T_c$  (2),  $0.1 T_c$  (3),  $0.5 T_c$  (4).

## 2. Обсуждение результатов Сравнение с экспериментальными данными

Результаты расчетов для SIN-контактов представлены на рис. 1, 2 для различных значений температур и констант взаимодействия биполяронов ( $\alpha$ ). Рассчитаны зависимости тока (рис. 1, а; 2, а) и дифференциальной проводимости  $dI/dV$  (рис. 1, б; 2, б) как функция напряжения.

Оказалось, что зависимость тока имеет сильную асимметрию при изменении полярности напряжения. Аналогичная особенность наблюдается и для дифференциальной проводимости. При  $V > 0$  на зависимостях наблюдаются два характерных участка. Если  $0 < V < W/2$ , ток нелинейным образом зависит от напряжения, дифференциальная проводимость монотонно возрастает. При  $V > W$  наблюдается линейный рост тока на ВАХ, а дифференциальная проводимость остается практически неизменной. Особенно резко эти особенности поведения проявляются при низких температурах  $T_c \ll T$  и размазываются при высоких  $T_c \approx T$ .

При  $V < 0$  ток отличен от нуля даже в случае очень низких температур (рис. 1, а), что отличается от результатов работы [4] и связано с тем, что учет взаимодействия биполяронов приводит к наличию надконденсатных частиц при любых температурах, которые и являются носителями тока через туннельный барьер.

Сравнение результатов расчета при различных значениях  $\alpha$  и одинаковых температурах показывает, что при одном и том же положительном напряжении ток больше для меньших значений  $\alpha$ . Для отрицательных напряжений абсолютное значение тока, наоборот, больше для больших  $\alpha$ .

Такое поведение ВАХ обусловливается конкуренцией двух процессов, возникающих при учете взаимодействия биполяронов: во-первых, взаимодействие приводит к выдавливанию частиц из конденсата, а во-вторых, к увеличению

*a*, отн.ед.

*b*

$dI/dV$ , отн.ед.

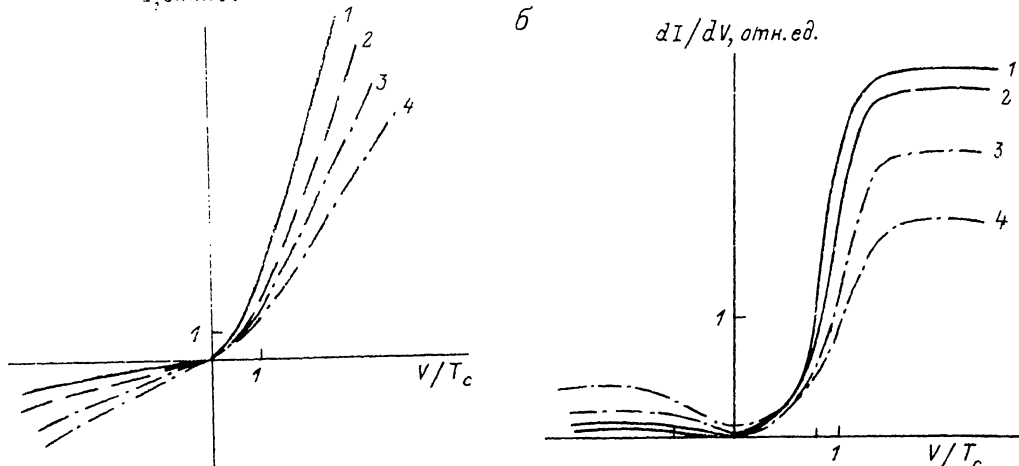


Рис. 2. Зависимости тока (*a*) и дифференциальной проводимости (*b*) от напряжения при  $W = 2T_c$ ,  $T = 0.01T_c$  для разных констант взаимодействия между биполяронами.  
 $\alpha = 0.01 T_c$  (1),  $0.05 T_c$  (2),  $0.1 T_c$  (3),  $0.5 T_c$  (4).

эффективной массы биполяронов. В случае  $V > 0$  преобладающим оказывается второй эффект, а в случае  $V < 0$  — первый.

Аналогичное сравнение для различных температур (при  $\alpha = \text{const}$ ) показывает, что абсолютное значение тока при одном и том же  $V$  больше в случае больших температур при любой полярности напряжения.

В работе [4] было показано, что с ростом температуры происходит уменьшение асимметрии ВАХ. Такой же результат получается и в случае учета взаимодействия, причем тем больший, чем больше  $\alpha$ .

Таким образом, развиваемая в работе модель, по-видимому, способна качественно объяснить экспериментальные особенности наблюдаемых ВАХ при контакте высокотемпературный сверхпроводник—нормальный металл, т. е. некоторую асимметрию ВАХ и наличие особенности, связываемой со сверхпроводящей щелью, которая в нашей трактовке задачи ассоциируется с конечной шириной биполярной зоны [10–16].

В статье рассмотрен туннельный ток электронов из биполярной зоны в нормальный металл. Введение полярной зоны приведет к более симметричной ВАХ.

#### Список литературы

- [1] Alexandrov A., Ranninger J. // Phys. Rev. B. 1981. V. 23. P. 1796–1801.
- [2] Alexandrov A., Ranninger J. // Phys. Rev. B. 1981. V. 24. P. 1164–1169.
- [3] Александров А. С. // ЖФХ. 1983. Т. 57. С. 273–284.
- [4] Александров А. С., Казеко М. П., Рубин С. Г. // ЖЭТФ. 1990. Т. 98. С. 1656–1671.
- [5] Свидзинский А. В. Пространственно-неоднородные задачи теории сверхпроводимости. М.: Наука, 1982. С. 312; Бароне А., Патерно Д. Эффект Джозефсона. М.: Мир, 1984. С. 639.
- [6] Ланг И. Г., Фирсов Ю. А. // ЖЭТФ. 1963. Т. 45. С. 1301–1308.
- [7] Alexandrov A., Ranninger J., Robaszkievicz S. // Phys. Rev. B. 1986. V. 33. P. 4526–4542.
- [8] Александров А. С., Самарченко Д. А., Травень С. В. // ЖЭТФ. 1987. Т. 93. С. 1007–1018.
- [9] Абрикосов А. и др. Методы квантовой теории поля в статистической физике. М.: Физматгиз, 1962. С. 444.
- [10] Kirthley J., Collins R. et al. // Phys. Rev. B. 1987. V. 35. P. 8853–8855.
- [11] Moreland J., Ekin J. et al. // Phys. Rev. B. 1987. V. 35. P. 8856–8857.
- [12] Kirk M., Smits D., Mitzl D. // Phys. Rev. B. 1987. V. 35. P. 8850–8852.
- [13] Fournel A., Oujia I., Sorbier J. // Phys. Rev. B. 1988. V. 6(7). P. L1009–L1011.

[14] Moreland J., Clark A. et al. // Phys. Rev. B. 1987. V. 35. P. 8711—8712.

[15] Pan S., Ng K. et al. // Phys. Rev. B. 1987. V. 35. P. 7220—7223.

[16] Hawley M., Gray K., Capone D. // Phys. Rev. B. 1987. V. 35. P. 7224—7227.

Московский  
инженерно-физический институт

Поступило в Редакцию  
28 июня 1991 г.

---